## —— ФИЗИЧЕСКАЯ ХИМИЯ PACTBOPOB —

УЛК 544.35

# ОБЪЕМНЫЕ ЭФФЕКТЫ ПРИ ВЗАИМОДЕЙСТВИИ L-ГИСТИДИНА С ИЗОМЕРАМИ ПИРИДИНМОНОКАРБОНОВОЙ КИСЛОТЫ В ВОЛНОМ БУФЕРНОМ РАСТВОРЕ

© 2024 г. Е.Ю. Тюнина<sup>a, \*</sup>, Г.Н. Тарасова<sup>a</sup>, И.Н. Межевой<sup>a</sup>, Д.Р. Ставнова<sup>b</sup>

<sup>а</sup>Институт химии растворов им. Г.А. Крестова РАН, 153045, Иваново, Россия <sup>b</sup>Ивановский государственный университет, 153025, Иваново, Россия

\*e-mail: tey@isc-ras.ru

Поступила в редакцию 13.12.2023 г. После доработки 24.01.2024 г. Принята к публикации 18.04.2024 г.

Методом денсиметрии изучено взаимодействие L-гистидина (His) с никотиновой (NA), изоникотиновой (INA) и пиколиновой (PA) кислотами в водном буферном растворе при изменении температуры от 288.15 К до 313.15 К. Используя полученные данные по плотности, определены кажущиеся молярные объемы и предельные кажущиеся молярные объемы изомеров пиридинмонокарбоновой кислоты (РуСООН) при бесконечном разбавлении и их производные по температуре в буферном растворе, содержащем аминокислоту. В отличие от линейных концентрационных зависимостей кажущегося молярного объема изомеров РуСООН в буферном растворе, для тройных систем (PyCOOH – His – буфер) эти зависимости носят нелинейный характер, что предполагает образование молекулярного комплекса между растворенными веществами. Определены предельные кажущиеся молярные расширяемости и их производные по температуре, значения которых свидетельствуют об увеличении упорядоченности растворителя при добавлении аминокислоты к раствору PvCOOH в буфере в ряду изомеров  $PA \rightarrow NA \rightarrow INA$ . Показано, что предельные кажущиеся молярные объемы переноса РуСООН из буфера в буферный раствор, содержащий His, имеют положительные значения и возрастают в изученном интервале температур. Полученные результаты обсуждены на основе преобладающих типов молекулярных взаимодействий между растворенным веществом и растворителем с использованием модели Гэрни.

*Ключевые слова*: плотность, кажущийся молярный объем, предельный кажущийся молярный объем, расширяемость, изомеры пиридинмонокарбоновой кислоты, L-гистидин, молекулярные комплексы, фосфатный буфер

**DOI:** 10.31857/S0044453724100093, **EDN:** EBNNCW

Азотосодержащие гетероциклические соединения играют важную роль во многих химических и биохимических процессах, являясь структурными элементами белков, ДНК, РНК, входят в состав множества фармацевтических и косметических препаратов. Пиридинкарбоновые кислоты (РуСООН) и их производные представляют собой семейство N-гетероциклических молекул, которые применяются для улучшения метаболических процессов, снижения уровня холестерина и триглицеридов в крови, в качестве пищевых добавок и активных противоопухолевых, противотуберкулезных, антибактериальных агентов в лекарственных средствах [1-3]. Как многофункциональные лиганды, они способны к образованию комплексов с металлами [4-6], что находит применение при очистке сточных вод [7], при разработке сенсибилизирующих красителей для солнечных элементов [8] и др.

Три изомерные молекулы пиколиновой (PA), никотиновой (NA) и изоникотиновой (INA) кислот имеют карбоксильную группу (—COOH), соответственно, во 2-м, 3-м и 4-м положениях пиридинового кольца относительно атома азота (рис. 1). Благодаря наличию в молекулах РуСООН кислотного и основного центров, они существуют в виде цвиттер-ионов в кристаллическом состоянии, как и аминокислоты. Водный раствор пиридинкарбоновой кислоты является слабокислым, атом водорода карбоксильной группы имеет тенденцию к ионизации. Вследствие того, что гетероциклические соединения составляют основу строения витаминов и других лекарственных препаратов, их физико-химические свойства и взаимодействия

Никотиновая пиколиновая кислота (NA) кислота (PA) изоникотиновая кислота (INA) 
$$\begin{pmatrix} O \\ O \end{pmatrix}$$
 ОН  $\begin{pmatrix} O \\ O \end{pmatrix}$  ОН  $\begin{pmatrix} O \\ N \\ N \end{pmatrix}$ 

Рис. 1. Структура исследуемых соединений.

с другими биологически активными веществами до сих пор представляют интерес для исследования разными методами [9—13]. Одной из актуальных задач является изучение природы взаимодействий в растворах модельных соединений белков (аминокислот) и лекарственных средств (РуСООН), так как особенности их поведения во многом определяют биологическую функциональность более сложных биосистем.

Гистидин (His) – одна из незаменимых α-аминокислот, принадлежащая к группе ароматических и гетероциклических аминокислот, обладает слабыми основными свойствами, обусловленными присутствием имидазольного кольца в боковой цепи молекулы (рис. 1). Благодаря резонансной делокализации заряда, имидазольное кольцо при протонировании является основным (р $K_{a}$  ~ 6.0) и протонируется уже при слабокислых значениях рН и, следовательно, может служить как донором, так и акцептором протонов в химической реакции, связывая протон одним атомом азота и отдавая протон от другого атома азота [14, 15]. Кислотно-основные и координирующие свойства имидазольной боковой цепи данной аминокислоты делают ее важнейшим компонентом активных центров в более 50 окислительно-восстановительных и гидролитических энзимах [16]. Гистидин входит в состав многих витаминных комплексов, используется при лечении ревматоидных артритов, аллергий, язв и анемии [17].

В предыдущих работах [18, 19] методами калориметрии, денсиметрии и УФ-спектроскопии изучено взаимодействие аминокислоты L-гистидина с никотиновой кислотой в воде и буферном растворе при T=298.15 К; полученные результаты свидетельствовали об образовании молекулярных комплексов между реагентами и позволили оценить влияние рН среды на их стабильность. В литературе отсутствуют данные по плотности растворов трех изомеров пиридинкарбоновой кислоты (РуСООН) в водном фосфатном буфере (рН 7.4), содержащем L-гистидин, в широком интервале температур. Целью данной работы является установление влияния температуры

и структурной изомерии в молекулах пиридинмонокарбоновой кислоты (NA, PA, INA) на их взаимодействия с гетероциклической аминокислотой L-гистидином в водном буферном растворе (рН 7.4) на основе использования денсиметрического метода. Как известно [20], объемные свойства растворов наиболее чувствительны к взаимодействиям растворенного вещества с растворителем и сорастворенным веществом, а также к изменению их гидратации под действием температуры и кислотности среды. В представленной работе получены новые данные по кажущимся молярным объемам и предельным кажущимся молярным объемам РуСООН в буферном растворе, содержащем Ніѕ, обсуждение которых проведено на основе рассмотрения взаимодействий (растворенное вещество – растворитель, растворенное вещество - сорастворенное вещество) в рамках подхода Гэрни [21].

## ЭКСПЕРИМЕНТАЛЬНАЯ ЧАСТЬ

В работе использовали L-гистидин (Sigma-Aldrich, Japan, CAS63-91-2, >0.99), никотиновую кислоту (Sigma-Aldrich, Germany, CAS59-67-6, ≥0.98), пиколиновую кислоту (Aldrich, CAS98-98-6, ≥0.99) и изоникотиновую кислоту (Aldrich, CAS55-22-1, 0.99). Аминокислоту и изомеры пиридинкарбоновой кислоты сушили при 356 К в вакуумном шкафу в течение 48 ч непосредственно перед использованием. Исследования проводили в водном буферном растворе, содержащим  $0.0416 \text{ моль кг}^{-1}$  $NaH_2PO_4$  и 0.2049 моль  $\kappa \Gamma^{-1}$   $Na_2HPO_4$ , при pH 7.4, что приближает среду к условиям реальных биологических систем. Значения рН растворов фиксировали цифровым pH-метром Mettler Toledo, модель Five-Easy. Все растворы приготовлены весовым методом, используя весы Sartorius-ME215S (с точностью взвешивания  $1 \times 10^{-5}$  г). Погрешность приготовления растворов нужной концентрации не превышала  $\pm 2 \times 10^{-4}$  моль кг<sup>-1</sup>.

Измерения плотности исследуемых растворов выполнены на цифровом вибрационном денсиметре DMA-5000M (Anton Paar, Австрия) при

1.021550

1.021551

1.021553

1.021559

1.021562

1.021567

| никотиновую кислоту (NA), при разных концентрациях и температурах |                       |          |          |          |          |  |  |
|---|-----------------------|----------|----------|----------|----------|--|--|
| $m$ , моль·кг $^{-1}$   | ρ, r·cm <sup>-3</sup> |          |          |          |          |  |  |
|   | 288.15 K              | 298.15 K | 303.15 K | 308.15 K | 313.15 K |  |  |
| 0.0000  | 1.029890              | 1.027141 | 1.025424 | 1.023565 | 1.021539 |  |  |
| 0.0024  | 1.029942              | 1.027179 | 1.025447 | 1.023579 | 1.021544 |  |  |
| 0.0070  | 1.030004              | 1.027229 | 1.025464 | 1.023590 | 1.021545 |  |  |
| 0.0104  | 1.030027              | 1.027239 | 1.025469 | 1.023591 | 1.021546 |  |  |
| 0.0126  | 1.030037              | 1.027251 | 1.025470 | 1.023592 | 1.021547 |  |  |
| 0.0177  | 1.030066              | 1.027253 | 1.025472 | 1.023593 | 1.021548 |  |  |

1.025474

1.025475

1.025476

1.025483

1.025487

1.025501

1.027255

1.027261

1.027266

1.027290

1.027297

1.027316

**Таблица 1.** Плотность водных буферных растворов, содержащих L-гистидин ( $m_{\rm His}$ =0.0125 $\pm$ 0.0002 моль·кг $^{-1}$ ) и никотиновую кислоту (NA), при разных концентрациях и температурах

**Таблица 2.** Плотность водных буферных растворов, содержащих L-гистидин ( $m_{\rm His}$ =0.0127±0.0002 моль·кг $^{-1}$ ) и пиколиновую кислоту (PA), при разных концентрациях и температурах

|                       | ρ, г·cm <sup>-3</sup> |          |          |          |          |          |
|-----------------------|-----------------------|----------|----------|----------|----------|----------|
| $m$ , моль·кг $^{-1}$ | 288.15 K              | 293.15 K | 298.15 K | 303.15 K | 308.15 K | 313.15 K |
| 0.0000                | 1.031190              | 1.029145 | 1.028431 | 1.026775 | 1.024906 | 1.022897 |
| 0.0070                | 1.031331              | 1.029279 | 1.028556 | 1.026891 | 1.025012 | 1.022992 |
| 0.0100                | 1.031381              | 1.029327 | 1.028603 | 1.026935 | 1.025048 | 1.023028 |
| 0.0125                | 1.031416              | 1.029363 | 1.028635 | 1.026964 | 1.025077 | 1.023055 |
| 0.0180                | 1.031504              | 1.029448 | 1.028711 | 1.027032 | 1.025136 | 1.023117 |
| 0.0200                | 1.031534              | 1.029467 | 1.028731 | 1.027049 | 1.025153 | 1.023134 |
| 0.0220                | 1.031554              | 1.029492 | 1.028755 | 1.027073 | 1.025170 | 1.023150 |
| 0.0250                | 1.031595              | 1.029529 | 1.028795 | 1.027109 | 1.025200 | 1.023177 |
| 0.0300                | 1.031680              | 1.029610 | 1.028877 | 1.027185 | 1.025266 | 1.023236 |
| 0.0320                | 1.031726              | 1.029649 | 1.028918 | 1.027219 | 1.025301 | 1.023265 |

температурах 288.15, 293.15, 298.15, 303.15, 308.15 и 313.15 К. Два встроенных платиновых термометра Pt100 в сочетании с элементами Пельтье обеспечивали термостатирование образца внутри ячейки с погрешностью  $5\times10^{-3}$  К. Перед каждой серией измерений проводили калибровку ячейки сухим воздухом и дважды дистиллированной дегазированной водой при атмосферном давлении. Подробное описание процедуры измерения дано ранее [22]. Концентрация пиридинкарбоновой кислоты в буферном растворе изменялась до  $\sim 0.03$  моль  $\cdot$  кг $^{-1}$  при фиксированной концентрации аминокислоты. Стандартная погрешность измерения плотности растворов составила  $\pm 1.22\times10^{-5}$ г см $^{-3}$ . Общая погрешность измерения  $\rho$  (с учетом коэффициента

0.0198

0.0209

0.0219

0.0249

0.0254

0.0279

1.030086

1.030096

1.030098

1.030142

1.030152

1.030182

Стьюдента t=2.78 при доверительной вероятности 0.95, n=5) не превышала  $\pm 2.92 \times 10^{-5} \Gamma \cdot \text{см}^{-3}$ .

1.023596

1.023597

1.023599

1.023603

1.023604

1.023613

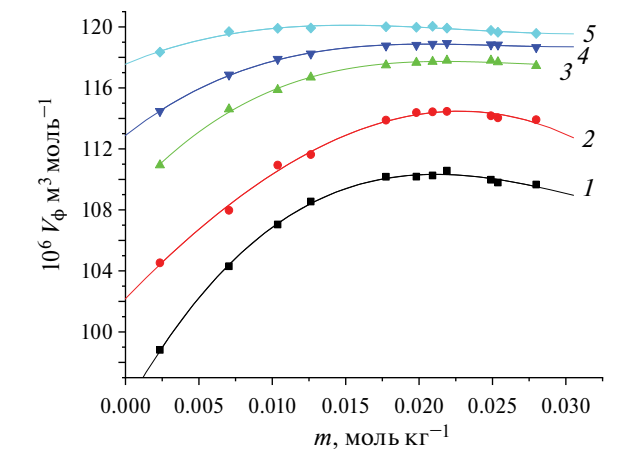
Экспериментальные данные по плотности ( $\rho$ ) исследуемых растворов приведены в табл. 1—3. Как видно из таблиц, наблюдается тенденция возрастания плотности растворов с ростом концентрации пиридинкарбоновой кислоты и уменьшения их значений с температурой.

#### ОБСУЖДЕНИЕ РЕЗУЛЬТАТОВ

Известно, что в водных растворах аминокислота (His) и пиридинкарбоновые кислоты (NA, PA, INA) могут находиться в различных ионных формах в зависимости от рН. Ранее было показано [18,

| 1                     | ρ, <sub>Γ</sub> ·cm <sup>-3</sup> |          |          |          |          |          |
|-----------------------|-----------------------------------|----------|----------|----------|----------|----------|
| $m$ , моль·кг $^{-1}$ | 288.15 K                          | 293.15 K | 298.15 K | 303.15 K | 308.15 K | 313.15 K |
| 0.0000                | 1.031190                          | 1.029145 | 1.028431 | 1.026775 | 1.024906 | 1.022897 |
| 0.0069                | 1.031297                          | 1.029242 | 1.028518 | 1.026852 | 1.024971 | 1.022948 |
| 0.0100                | 1.031328                          | 1.029271 | 1.028542 | 1.026873 | 1.024990 | 1.022964 |
| 0.0124                | 1.031349                          | 1.029290 | 1.028559 | 1.026981 | 1.025001 | 1.022975 |
| 0.0179                | 1.031402                          | 1.029335 | 1.028597 | 1.026919 | 1.025022 | 1.022998 |
| 0.0199                | 1.031416                          | 1.029348 | 1.028601 | 1.026923 | 1.025028 | 1.023005 |
| 0.0220                | 1.031433                          | 1.029349 | 1.028612 | 1.026933 | 1.025033 | 1.023007 |
| 0.0249                | 1.031453                          | 1.029365 | 1.028616 | 1.026939 | 1.025040 | 1.023014 |
| 0.0303                | 1.031516                          | 1.029418 | 1.028662 | 1.026983 | 1.025069 | 1.023039 |
| 0.0320                | 1.031538                          | 1 029445 | 1.028692 | 1.027005 | 1.025082 | 1.023051 |

**Таблица 3.** Плотность водных буферных растворов, содержащих L-гистидин ( $m_{\rm His}$ =0.0127±0.0002 моль·кг $^{-1}$ ) и изоникотиновую кислоту (INA), при разных концентрациях и температурах



**Рис. 2.** Концентрационные зависимости кажущихся молярных объемов ( $V_{\phi}$ ) никотиновой кислоты в водном буферном растворе L-гистидина при температурах: 288.15 (I), 298.15 (Z), 303.15 (Z), 308.15 (Z), 313.15 K (Z); Z0.125Z0.002 моль-кгZ1.

23], что гистидин существует преимущественно в виде цвиттер-иона ( $HL^{\pm}$ ) в интервале pH от  $\sim 5.8$  до 9.5, при pH > 9.5 — в форме аниона ( $L^{-}$ ), а при значениях pH, меньших 5.8 — в катионных формах ( $H_{2}L^{+}, H_{3}L^{2+}$ ). Таким образом, при фиксированном значении pH 7.4 преобладает цвиттерионная форма L-гистидина ( $HL^{\pm}$ ), имеющая диссоциированную карбоксильную группу и протонированную  $\alpha$ -аминогруппу; в этих условиях имидазольная группировка депротонирована [17] и вероятность наличия катионной формы ( $H_{2}L^{+}$ ) составляет менее 5%.

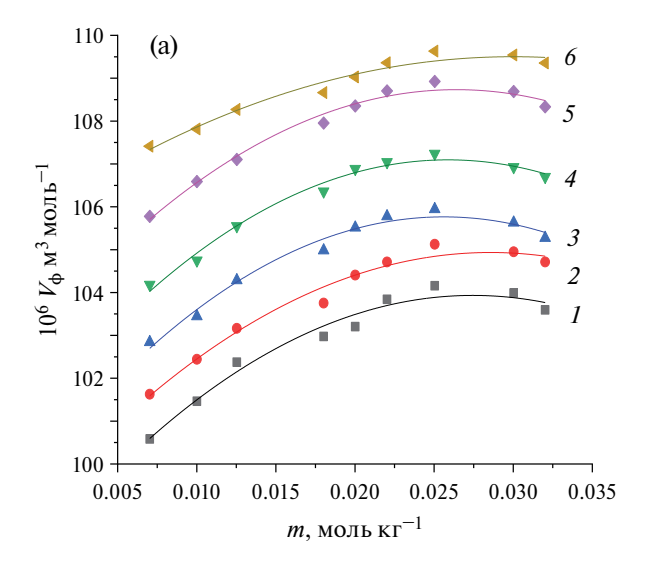
В работах [11, 24] представлены диаграммы долевого распределения ионных форм NA, PA и INA при изменении pH раствора, согласно которым в буферном растворе с рН 7.4 изомеры РуСООН принимают форму анионов ( $L^-$ ). Поэтому можно считать, что именно в этой форме исследуемые пиридинкарбоновые кислоты участвуют в процессах взаимодействия с гистидином в буферном растворе.

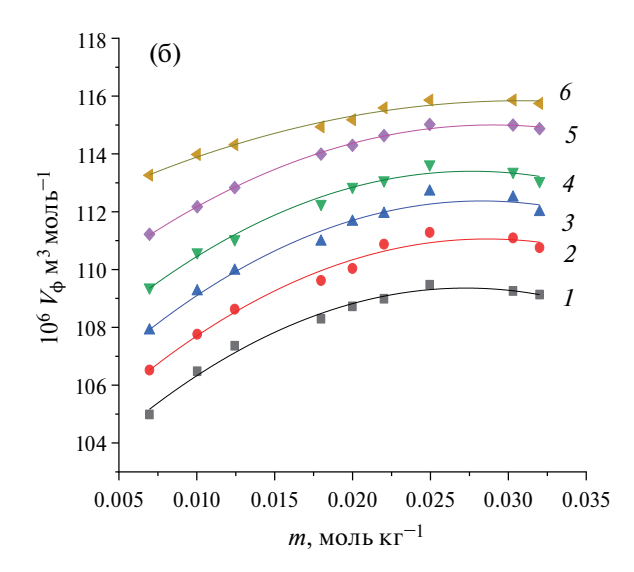
Кажущийся молярный объем изомеров пиридинкарбоновой кислоты PyCOOH ( $V_{\phi}$ ) в буферном растворе аминокислоты определен на основе общепринятого предположения [25, 26], что молекулярный объем растворителя в растворе не зависит от состава раствора, и изменение плотности раствора связано только с изменением числа молекул растворенного вещества. Используя экспериментальные значения плотности, проведен расчет величин  $V_{\phi}$  по уравнению [25, 27]:

$$V_{\varphi} = 1000 (\rho_0 - \rho) / \rho \rho_0 m + M/\rho, \qquad (1)$$

где  $\rho_0$  и  $\rho$  — плотности растворителя и раствора ( $r \cdot cm^{-3}$ ), m — моляльная концентрация РуСООН (моль  $\kappa r^{-1}$ ), M — ее молекулярная масса. Растворителем в тройной системе (РуСООН — His — буфер) является буферный раствор аминокислоты (с фиксированной концентрацией).

Ранее показано [28], что зависимости  $V_{\phi} = f(m)$  для пиридинмонокарбоновых кислот в буферном растворе описываются линейной функцией. В случае тройной системы (РуСООН — His — буфер) меняется форма концентрационных зависимостей кажущихся молярных объемов изомеров РуСООН, которые приобретают нелинейный характер (рис. 2, 3). С ростом концентрации пиридинкарбоновой кислоты в буферных растворах, содержащих His, наблюдается увеличение значений  $V_{\phi}$ , достигающих наибольших величин при моляльности  $m_{\rm PyCOON} \approx 0.025$  моль·кг $^{-1}$ , что





**Рис. 3.** Концентрационные зависимости кажущихся молярных объемов ( $V_{\phi}$ ) пиколиновой (а) и изоникотиновой (б) кислот в водном буферном растворе L-гистидина при температурах: 288.15 (I), 293.15 (I), 298.15 (I), 308.15 (I), 313.15 K (I); I0, 313.15 K (I0); I1, I1, I2, I3, I3, I3, I3, I3, I3, I3, I3, I4, I3, I4, I5, I6, I7, I8, I8, I9, I1, I

соответствует мольному соотношению ~1:2 между Ніѕ и РуСООН, и практически выходящих на "плато" с увеличением температуры. Полученные нелинейные зависимости  $V_{\phi} = f(m)$  позволяют предположить усиление взаимодействий между растворенными веществами, приводящих к образованию молекулярного комплекса между гистидином и изомерами пиридинкарбоновой кислоты, что сопровождается частичной дегидратацией молекул растворенных веществ [21, 29-31]. С повышением температуры происходит высвобождения электрострикционно сжатых молекул воды из "рыхлых" гидратных сфер цвиттерионов His и анионов РуСООН в объем раствора, что дает положительный вклад в изменение объемных свойств и приводит к увеличению объема растворов [32, 33].

В тройной системе (PyCOOH — His — буфер) для определения предельных кажущихся молярных объемов ( $V_{\phi}^{0}$ ) при бесконечном разбавлении, использован полином второй степени для описания концентрационных зависимостей кажущихся молярных объемов ( $V_{\phi}$ ):

$$V_{\varphi} = V_{\varphi}^{0} + b_{1}m + b_{2}m^{2}, \tag{2}$$

где  $b_1$ ,  $b_2$  — постоянные коэффициенты. Полученные значения  $V_{\phi}^{\ 0}$  (табл. 4) положительны и увеличиваются с ростом температуры.

Анализ данных, представленных в табл. 4 и полученных ранее [28] для растворов РуСООН в буфере, показал, что значения предельного кажущегося молярного объема ( $V_{\phi}^{\ 0}$ ) РуСООН в тройной системе (РуСООН—Ніѕ—буфер) больше, чем в бинарной системе (РуСООН — буфер) при каждой

температуре, что, по-видимому, отражает потерю структурно-разрушающего действия пиридинкар-боновых кислот на растворитель. Это свидетельствует о том, что добавление Ніз приводит к более сильным взаимодействиям растворенного вещества (РуСООН) с растворителем (Ніз—буфер) в тройных системах. Подобные тенденции наблюдались также для растворов NA в буфере, содержащем другие аминокислоты (Phe, Trp, Lys, Met) [18, 22, 34].

Изменения предельного кажущегося молярного объема ( $\Delta_{\rm tr} V_{\phi}^{\ o}$ )при переносе РуСООН из буфера в буферный раствор Ніѕ вычислены по соотношению:

$$\Delta_{tr}V_{\varphi}^{0} = V_{\varphi}^{0}(\text{PyCOOH} - \text{His} - \text{6ypep}) - V_{\varphi}^{0}(\text{PyCOOH} - \text{6ypep}).$$
(3)

Предельный кажущийся молярный объем переноса,  $\Delta_{tr}V_{\phi}^{\ o}$ , при бесконечном разбавлении свободен от взаимодействий растворенное вещество – растворенное вещество и дает информацию о взаимодействиях растворенное вещество (PyCOOH) – сорастворенное вещество (His) [27, 35-37]. Согласно модели перекрывания гидратных сфер Гэрни [21, 38], положительные значения  $\Delta_{tr}V_{\phi}^{\text{ o}} > 0$  отражают взаимодействия, обусловленные, прежде всего, электростатическими силами между гидратированными зарядными группами (-NH<sub>3</sub><sup>+</sup>, COO<sup>-</sup>, COO<sup>-</sup>) в молекулах His и PyCOOH и образованием водородных связей между растворенными веществами и растворителем. Взаимодействие между гидратированными неполярными фрагментами исследуемых молекул (за счет

**Таблица 4.** Предельные кажущиеся молярные объемы  $(V_{\phi}^{\, \mathrm{o}})$  изомеров пиридинкарбоновой кислоты при бесконечном разбавлении, значения их производных по температуре  $E_{\phi}^{\, \mathrm{o}} = (\partial V_{\phi}^{\, \mathrm{o}}/\partial T)_{\mathrm{p}}$  и значения предельных кажущихся молярных объемов переноса  $(\Delta_{tr}V_{\phi}^{\, \mathrm{o}})$  из буфера в буферный раствор с добавками L-гистидина (His) при разных температурах

| <i>T</i> , K                  | $V_{\phi}^{\text{ o}} \times 10^{6},$ м $^{3}$ моль $^{-1}$ | $E_{\varphi}^{\text{o}} \times 10^{6},$ м <sup>3</sup> моль <sup>-1</sup> ·K <sup>-1</sup> с | $\Delta_{tr}V_{\phi}^{\text{ o}}\times 10^{6},$ $M^{3}$ МОЛЬ $^{-1}$ |  |  |
|-------------------------------|---|--|--|--|--|
|                               | NA — His <sup>a</sup> — буфер                               |  |  |  |  |
| 288.15                        | 96.12±0.39  | 0.688  | 3.33   |  |  |
| 293.15                        | _   | _  | _  |  |  |
| 298.15                        | $101.89 \pm 0.30$   | 0.858  | 6.69   |  |  |
| 303.15                        | $109.58 \pm 0.32$   | 0.943  | 13.05  |  |  |
| 308.15                        | $113.51\pm0.24$   | 1.028  | 15.77  |  |  |
| 313.15                        | 118.06±0.21   | 1.113  | 19.64  |  |  |
|                               | $NA-His^a-$ буфер   |  |  |  |  |
| 288.15                        | 97.89±0.38  | 0.099  | 2.86   |  |  |
| 293.15                        | 99.05±0.35  | 0.179  | 2.40   |  |  |
| 298.15                        | $99.94 \pm 0.32$  | 0.260  | 1.82   |  |  |
| 303.15                        | $101.31 \pm 0.29$   | 0.341  | 1.85   |  |  |
| 308.15                        | $103.11 \pm 0.30$   | 0.421  | 2.1  |  |  |
| 313.15                        | $105.80 \pm 0.32$   | 0.502  | 3.7  |  |  |
| NA — His <sup>a</sup> — буфер |   |  |  |  |  |
| 288.15                        | 101.79±0.34   | 0.154  | 0.84   |  |  |
| 293.15                        | $103.13\pm0.39$   | 0.243  | 1.10   |  |  |
| 298.15                        | $104.53\pm0.39$   | 0.332  | 1.28   |  |  |
| 303.15                        | 106.16±0.35   | 0.422  | 2.03   |  |  |
| 308.15                        | $108.39 \pm 0.23$   | 0.511  | 3.32   |  |  |
| 313.15                        | 111.57±0.25   | 0.601  | 5.33   |  |  |

Примечание.  ${}^am_{\rm His}=0.0125\pm0.0002~{\rm моль\cdot kr^{-1}}.$   ${}^6m_{\rm His}=0.0127\pm0.0002~{\rm моль\cdot kr^{-1}}.$   ${}^cE_{\phi}{}^o=(\partial V_{\phi}{}^o/\partial T)_{\rm p}$  вычислено по соотношению  $(\partial V_{\phi}{}^o/\partial T)_{\rm p}$ = $\beta+2T\gamma$ , с коэффициентами корреляции  $R_{\rm corr}$ , равными 0.988, 0.996 и 0.998 соответственно, для систем с NA, PA и INA ( $\beta$  и  $\gamma$  — константы из (4)).

гидрофобных сил) сопровождается понижением объема ( $\Delta_{tr}V_{\phi}^{\circ}$ <0). Полученные положительные изменения объема  $\Delta_{tr}V_{\phi}^{\circ}$ , приведенные в табл. 4 для трех изомеров РуСООН, свидетельствуют о доминировании взаимодействий первого типа в буферных растворах исследуемых пиридинкарбоновых кислот в присутствии His. Наблюдается тенденция повышения величины  $\Delta_{tr}V_{\phi}^{\circ}$  в ряду: INA<PA<NA, хотя при высоких температурах изменение объема переноса больше для INA, чем PA. Учитывая ионное состояние исследуемых веществ в буферном растворе, можно полагать, что движущими силами образования комплексов His с NA, PA и INA

являются преимущественно цвиттерион — анионные взаимодействия и водородные связи, что согласуется с литературными данными для других аминокислот в буферном растворе [39—41].

Температурные зависимости предельных кажущихся молярных объемов  $V_{\phi}^{\ o}$  пиридинкарбоновых кислот (NA, PA, INA) в буферных растворах с аминокислотой (His) представлены на рис. 4 и описываются уравнением:

$$V_{\varphi}^{0} = \beta + \alpha T + \gamma T^{2}, (4)$$

где  $\alpha$ ,  $\beta$  и  $\gamma$  — константы, T — температура. Значения  $(\partial V_{\phi}{}^{0}/\partial T)_{p}$  и  $(\partial^{2}V_{\phi}{}^{0}/\partial T^{2})_{p}$  были вычислены путем дифференцирования уравнения (4). В табл. 4 приведены полученные положительные значения предельной кажущейся молярной расширяемости при бесконечном разбавлении  $E_{\phi}{}^{0} = (\partial V_{\phi}{}^{0}/\partial T)_{p}$ .

$$E_{\varphi}^{\ o} = E_{\varphi}^{\ o} \left( \text{elect} \right) + E_{\varphi}^{\ o} \left( \text{str} \right), \tag{5}$$

где  $E_{\omega}^{o}$ (elect) — расширение вследствие изменения электрострикции молекул воды (вклад гидратации и дегидратации растворенных веществ при их взаимодействии),  $E_{\varphi}^{\text{o}}(\text{str})$  — расширение вследствие изменения структуры растворителя (вклад гидрофобной гидратации); при этом, с ростом температуры наблюдается преобладание электрострикционного вклада для электролитных растворов или структурной составляющей (появление "эффекта клетки") для водных растворов гидрофобных соединений. В нашем случае полученные значения  $E_{0}^{0}$  увеличиваются с температурой в водных буферных растворах исследуемых растворенных веществ (His, NA, PA, INA), молекулы которых содержат как зарядные центры, так и гидрофобные группы, что способствует проявлению как электростатических взаимодействий между ними, так и эффектов гидрофобной гидратации [47]. По-видимому, повышение температуры сопровождается конкуренцией указанных выше вкладов в величину  $E_{\omega}^{\ o}$ . Таким образом, повышение температуры способствует проявлению гидрофобной гидратации и оказывает влияние, прежде всего, на молекулы воды, находящиеся в гидратных оболочках цвиттерионов аминокислоты и анионов РуСООН, делая их более "рыхлыми", что облегчает высвобождение электрострикционно сжатых молекул воды из сольватных сфер растворенных веществ в объем раствора при их взаимодействии, что приводит к более высоким значениям расширяемости  $E_{\phi}^{\ \ \ }$ . Значения  $E_{\phi}^{\ \ \ \ }$  повышаются в ряду PA < INA < NA, что в первом приближении отражает тенденцию влияния температуры на изменение "структурируемости" их буферных растворов, содержащих аминокислоту.

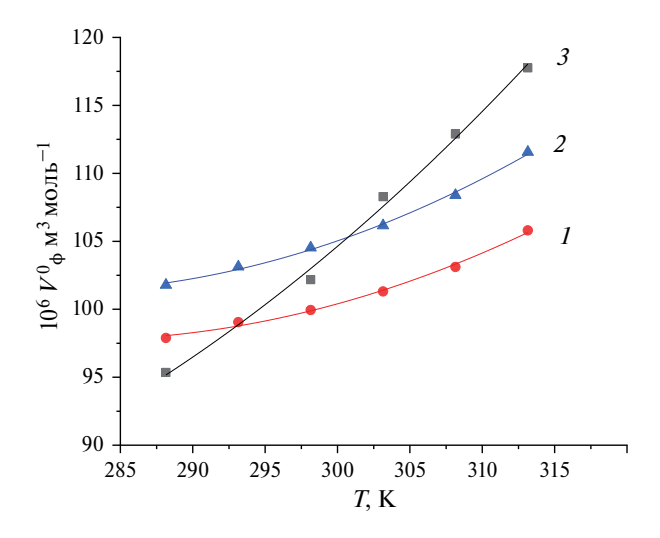
Хеплер [48] предложил подход на основе анализа знака производной предельной молярной расширяемости по температуре  $(\partial E_{\phi}{}^{\circ}/\partial T)_{p} = (\partial^{2}V_{\phi}{}^{\circ}/\partial T^{2})_{p}$  для оценки структурно-образующей (положительный знак) или структурно-разрушающей (отрицательный знак) способности растворенного вещества в системах с фиксированным растворителем, используя термодинамическое соотношение:

$$(\partial C^{\circ}_{p}/\partial P)_{T} = -T(\partial^{2}V^{\circ}_{\varphi}/\partial T^{2})_{p}. \tag{6}$$

Полученные положительные значения ( $\partial E_{\alpha}^{\ o}$ )  $\partial T)_{p}$ , приведенные в табл. 5, свидетельствуют о склонности изомеров пиридинмонокарбоновой кислоты к укреплению структуры растворителя (His – буфер), прежде всего, за счет образования молекулярного комплекса между His и изомерами РуСООН, причем наблюдается тенденция усиления их воздействия на структуру буферного раствора в ряду  $PA \rightarrow NA \rightarrow INA$ . Чем более структурирована жидкость, тем больше положительная величина  $(\partial E_{\phi}^{\text{ o}}/\partial T)_{\text{p}}$ . Таким образом, INA проявляет наиболее структурно-образующие свойства в системе (INA — His — буфер). Следует отметить, что в случае бинарной системы (РуСООН буфер) изомеры РуСООН оказывают структурно-разрушающее воздействие на буферный раствор, о чем свидетельствуют полученные ранее отрицательные значения  $(\partial E_{\varphi}^{\circ}/\partial T)_{p}$  [28].

#### **ЗАКЛЮЧЕНИЕ**

В данной работе определены кажущиеся молярные объемы ( $V_{\phi}$ ) и предельные кажущиеся молярные объемы при бесконечном разбавлении ( $V_{\phi}^{\text{o}}$ ) трех изомеров РуСООН — никотиновой (NA), пиколиновой (PA) и изоникотиновой (INA) кислот в буферном растворе с добавками L-гистидина (фиксированной концентрации), а также вычислены предельные кажущиеся молярные объемы их переноса ( $\Delta_{tr}V_{\phi}^{\text{o}}$ ) из чистого буфера в буферный раствор аминокислоты, исходя из экспериментальных измерений плотности в интервале концентраций ( $\sim 0.007-0.032$  моль кг $^{-1}$ ) притемпературах: 288.15, 293.15, 298.15, 303.15, 308.15 и 313.15 К. Показано, что нелинейный характер концентрационных зависимостей  $V_{\phi}$ =f(m) в тройных системах:



**Рис. 4.** Температурные зависимости предельных кажущихся молярных объемов  ${}^{\phi}V^{\circ}$  изомеров пиридинкарбоновой кислоты в буферном растворе (рН 7.4), содержащем L-гистидин: PA — His — буфер (I), INA — His — буфер (I), INA — His — буфер (I).

**Таблица 5.** Значения температурной производной предельной кажущейся молярной расширяемости  $(\partial E_{\varphi}^{\ o}/\partial T)_p$  для пиридинкарбоновых кислот в водном буферном растворе (рН 7.4), содержащем аминокислоту L-гистидин (His)

| Система           | $(\partial E_{\varphi}^{\circ}/\partial T)_{p} = (\partial^{2}V_{\varphi}^{\circ}/\partial T^{2})_{p},$ см <sup>3</sup> моль <sup>-1</sup> K <sup>-2</sup> |
|-------------------|--|
| PA — His — буфер  | 0.0161±0.0012  |
| NA — His — буфер  | $0.0170\pm0.0015$  |
| INA — His — буфер | 0.0179±0.0011  |

NA — His — буфер, PA — His — буфер и INA — His — буфер отражает процесс образования молекулярного комплекса со стехиометрией His к РуСООН как ~1:2. Получены положительные значения  $V_{\phi}^{\rm o}$  и  $\Delta_{tr}V\phi^{\rm o}$ , которые позволяют говорить о существенном вкладе электростатических, сольватационных эффектов и водородных связей во взаимодействие между растворенными веществами.

Определены предельные кажущиеся молярные расширяемости  $E_{\phi}{}^{\rm o}=(\partial V_{\phi}{}^{\rm o}/\partial T)_{\rm p}$  и их производные по температуре  $(\partial E_{\phi}{}^{\rm o}/\partial T)_{\rm p}=(\partial^2 V_{\phi}{}^{\rm o}/\partial T^2)_{\rm p}$  при бесконечном разбавлении для изомеров РуСООН в исследуемых растворах с добавками аминокислоты. Полученные положительные значения  $E_{\phi}{}^{\rm o}$  повышаются с ростом температуры, что может быть обусловлено конкурирующим действием электрострикционного вклада (дегидратацией цвиттерионов аминокислоты и анионных форм изомеров РуСООН при их взаимодействии) и вклада

от гидрофобной гидратации образуемого молекулярного комплекса между Ніѕ и РуСООН. Эффекты структурной изомерии молекул РуСООН на их взаимодействия с His проявляются в изменении значений  $E_{\omega}^{o}$  в ряду PA < INA < NA, что позволяет рассматривать растворы PA — His — буфер и INA – His – буфер более структурированными системами, чем раствор NA – His – буфер. Получены положительные значения параметра  $(\partial E_{\sigma}{}^{\rm o}/\partial T)_{\rm p}$ , которые свидетельствуют о структурно-укрепляющем эффекте исследуемых изомеров РуСООН на буферные растворы, содержащие L-гистидин (His), вследствие образования молекулярных комплексов между ними, что отличает их от чистого буфера без добавок аминокислоты, для которого значения  $(\partial E_{0}^{o}/\partial T)_{n}$  отрицательны для всех трех пиридинкарбоновых кислот. Таким образом, добавление L-гистидина к бинарным системам PyCOOH – буфер способствует укреплению структуры раствора, причем такое воздействие усиливается в ряду РА  $NA \rightarrow INA$ .

Измерения плотности выполнены на оборудовании центра коллективного пользования "Верхневолжский региональный центр физико-химических исследований" ИХР РАН (http://www.isc-ras.ru/ru/struktura/ckp).

Работа выполнена в рамках фундаментальных научных исследований ИХР РАН по теме № 122040500040-6 Минобрнауки России.

### СПИСОК ЛИТЕРАТУРЫ

- Ramesh G., Reddy B.V. // J. Mol. Struct. 2018.
   V. 1160. P. 271.
- 2. Gille A., Bodor E.T., Ahmed K. et al. // Annu. Rev. Pharmacol. Toxicol. 2008. V. 48. P. 79.
- 3. *Zhang Y.* // Annu. Rev. Pharmacol. Toxicol. 2005. V. 45. P. 529.
- 4. *Zolin V.F.*, *Puntus L.N.*, *Tsaryuk V.I. et al.* // J. Alloys Comp. 2004. V. 380. P. 279.
- Seifriz I., Konzen M., Paula M.M.S. et al. // J. Inorg. Biochem. 1999. V. 76. P. 153.
- 6. *Li W.*, *Wang X.-L.*, *Song X.-Y. et al.* // J. Mol. Struct. 2008. V. 885. P. 1.
- 7. *Lee S.M.*, *Ryu S.K.*, *Jung C.H. et al.* // Carbon 2002. V. 40. P. 329.
- 8. Westermark K., Rensmo H., Lees A.C. et al. // J. Phys. Chem. B. 2002. V. 106. P. 10108.
- Shohayeb S.M., Mohamed R.G., Moustafa H. et al. // J. Mol. Struct. 2016. V. 1119. P. 442.
- Terekhova I.V., De Lisi R., Lazzara G. et al. // J. Therm. Anal. Cal. 2008. V. 92. P. 285.
- 11. Tyunina E. Yu., Krutova O.N., Lytkin A.I. et al. // J. Chem. Thermodynamics 2022. V. 171. P. 106809.
- 12. Tyunina E. Yu., Krutova O.N., Lytkin A.I. // Thermochimica Acta 2020. V. 690. P. 178704.

- Gamov G.A., Kiselev A.N., Alexsandriiskii V.V. et al. // J. Mol. Liq. 2017. V. 242. P. 1148.
- 14. Тюкавкина Н.А., Бауков Ю.И., Зурабян С.Э. Биоорганическая химия. М.: Просвещение, 2010. 416 с. [Tyukavkina N.A., Baukov Yu.I., Zurabayn S.A. Bioorganic Chemistry. Moscow: Prosveshenie, 2010]
- Chemistry and biochemistry of the amino acids. / Ed. By G.C. Barret, Chapman and Hall, London-N.Y.; 1985.
- Schneider F. // Angew. Chem., Int. Ed. Engl. 1978.
   V. 17. P. 583. DOI: 10.1002/anie.197805831
- 17. Чернова Р.К., Варыгина О.В., Березкина Н.С. // Изв. Саратовского ун-та. Нов. Сер. Сер. Химия. Биология. Экология. 2015. Т. 15. № 4. С. 15. DOI: 10.18500/1816-9775-2015-15-4-15-21.
- 18. Tyunina E. Yu., Mezhevoi I.N., Stavnova A.A. // J. Chem. Thermodynamics. 2021. V. 161. P. 106552.
- 19. *Баделин В.Г., Тарасова Г.Н., Тюнина Е.Ю. и др. //* Изв. Вузов. Химия и хим. технология. 2018. Т. 61. Вып. 8. С. 10–16. [*Badelin V.G., Tarasova G.N., Tyunina E. Yu.et al. //* Izv. Vyssh. Uchebn. Zaved. Khim. Khim. Tekhnol. 2018. V. 61. N8. P. 10.]
- Han F., Chalikian T.V. // J. Am. Chem. Soc. 2003.
   V. 125. P. 7219. doi: 10.1021/ja030068p
- 21. *Gurney R.W.* Ionic Processes in Solution. New York: McGraw Hill, 1953.
- 22. Tyunina E. Yu., Badelin V.G., Mezhevoi I.N. // J. Chem. Thermodynamics. 2019. V. 131. P. 40
- 23. *Тюнина Е.Ю., Баделин В.Г., Курицына А.А.* // Журн. физ. химии. 2020. Том 94. № 4. С. 557. [*Tyunina E. Yu., Badelin V.G., Kuritsyna A.A.* // Russ. J. Phys. Chem. A. 2020. Vol. 94. No.4. P. 557.]
- 24. *Lytkin A.I.*, *Badelin V.G.*, *Krutova O.N. et al.* // Russ. J. Gen. Chem. 2019. V. 89. P. 2235.
- 25. *Харнед Г., Оуэн Б.* Физическая химия растворов электролитов. М.: изд-во ИЛ, 1952 [H.S. Harned, B.B. Owen. The physical chemistry of electrolytic solutions. New York, 1950]
- 26. Теоретические и экспериментальные методы химии растворов (Проблемы химии растворов) / отв. ред. А.Ю. Цивадзе. М.: Проспект, 2011. 688 с.
- 27. *Rani R., Rajput Sh., Sharma K. et al.* // Mol. Physics 2022. V. 120. P. e1992029. https://doi.org/10.1080/00268976.2021.1992029
- 28. *Tyunina E. Yu.*, *Tarasova G.N.* // Russ. J. Phys. Chem. A. 2024. V. 98. № 3. В печати.
- 29. Zielenkiewicz W., Pietraszkiewicz O., Wszelaka-Rylic M. et al. // J. Solution Chem. 1998. V. 27. P. 121.
- 30. *Terekhova I.V.*, *Kulikov O.*V. // Mendeleev Comm. 2002. V. 12. P. 111. https://doi.org/10.1070/MC2002v012n03ABEH001571
- 31. *Jamal M.A., Khosa M.K., Rashad M. et al.* // Food Chem. 2014. V. 146. P. 460. https://doi.org/10.1016/j.foodchem.2013.09.076

- 32. *Kumar H.*, *Behal I.* // J. Chem. Eng. Data. 2016. V. 61. P. 3740. https://doi.org/10.1021/acs.jced.6b00168
- 33. *Arsule A.D.*, *Sawale R.T.*, *Kalyankar T.M. et al.* // J. Solution Chem. 2020. V. 49. P. 83. https://doi.org/10.1007/s10953-019-00945-4
- 34. *Тюнина Е.Ю., Тарасова Г.Н., Дунаева В.В.* // Журн. физ. химии. 2022. Т. 96. № 1. С. 76. [*Tyunina E. Yu., Tarasova G.N., Dunaeva V.V.* // Russ. J. Phys. Chem. A. 2022. V. 96. P. 98.]
- 35. *Nain A.K.* // J. Mol. Liq. 2020. V. 315. P. 113736. https://doi.org/10.1016/j.molliq.2020.113736
- 36. *Gupta J., Nain A.K.* // J. Chem. Thermodynamics 2019. V. 135. P. 9. https://doi.org/10.1016/j.jct.2019.03.011
- Warmi'nska D., Kloskowski A. // J. Chem. Thermodynamics 2023. V. 187. P. 107148. https://doi.org/10.1016/j.jct.2023.107148
- 38. *Franks F*. Water: A comprehensive treatise. V. 3. New York: Plenum Press., 1973.
- Tyunina E. Yu., Badelin V.G., Mezhevoi I.N. et al. // J. Mol. Liq. 2015. V. 211. P. 494.

- 40. Баделин В.Г., Тюнина Е.Ю., Межевой И.Н. и др. // Журн. физ. химии. 2015. Том 89. № 12. С. 1884. [Badeline V.G., Tyunina E. Yu., Mezhevoi I.N.et al. // Russ. J. Phys. Chem. A. 2015. V. 89. P. 2229.]
- 41. *Тюнина Е.Ю., Баделин В.Г., Тарасова Г.Н.* // Журн. физ. химии. 2015. Т. 89. № 9. С. 1407. [*Tyunina E. Yu., Badelin V.G., Tarasova G.N.* // Russ. J. Phys. Chem. A. 2015. V. 89. P. 1595].
- 42. *Parmar M.L., Banyal D.S.* // Indian J. Chem. 2005. V. 44A. P. 1582.
- Roy M.N., Sarkar K., Sinha A. // J. Solution Chem. 2014. V. 43. P. 2212. DOI 10.1007/s10953-014-0267-z
- 44. *Millero F.J.* in: Structure and Transport Processes in Water and Aqueous Solutions, edited by R.A. Horne (Wiley Interscience, New York) 1971. Chap. 15., p. 622.
- 45. Sarkar A., Pahaman H., Singha U.K. et al. // Indian J. Adv. Chem. Sci. 2017. V. 5(4). P. 230.
- 46. *Dhondge S.S., Zodape S.P., Parwate D.V.* // J. Chem. Thermodynamics. 2012. V. 48. P. 207.
- Gardas R.L., Dagade D.H., Coutinho J.A.P. et al. // J. Phys. Chem. B. 2008. V. 112. P. 3380.
- 48. Hepler L.G. // Can. J. Chem. 1969. V. 47. P. 4613.